

X 線機構造学

人民衛生出版社

X 線 机 構 造 学

編著者 史 元 明

人民衛生出版社

一九五六年·北 京

內容提要

本書共分三章，首先介紹高壓部分機件，其次介紹低壓部分機件，最後介紹電路結構，其中關於發生X線用的X線管，供應X線管高電壓的發生裝置，操縱X線發生及性能調節裝置的控制台，透視攝影床等機械部分，均作了詳細介紹，並對主要各廠各牌號機器的不同裝置及性能，亦分別予以介紹。附圖296幅，敘述詳盡，可供X線技士學校及一般X線機工作人員參考。

X線機構造學

開本：850×1168/32 印張：77/16 插頁：7 字數：200千字

史元明編著

人民衛生出版社出版

(北京書刊出版業營業許可證出字第〇四六号)

• 北京崇文區矮子胡同三十六號 •

上海市印刷五廠印刷·新華書店發行

統一書號：14048·0890

1956年6月第1版—第1次印刷

定 价：(9) 1.00 元

1956年11月第1版—第2次印刷

(上海版) 冊數：6,101—9,100

目 錄

雜論	1
第一章 高壓部分機件	4
第一節 X線管	4
第二節 高壓電纜	33
第三節 高壓整流管	35
第四節 灯絲變壓器	44
第五節 高壓變壓器	47
第六節 高壓交換閘、高壓電容器及電阻器	56
第二章 低壓部分機件	58
第一節 自耦變壓器	58
第二節 低壓整流器	67
第三節 穩壓器	75
第四節 電的接觸接連	83
第五節 繼電器	88
第六節 過負載斷路器及保護機件	103
第七節 延時器	110
第八節 旋轉陽極啓動器	119
第九節 限時器	126
第十節 電子限時器	135
第三章 ircuit結構	157
第一節 机器圖的種類與符號	159
第二節 低壓電路結構	162
第三節 高壓電路結構	199
第四節 全部机器的電路結構舉例	226

緒論

自从 1895 年倫琴發現 X 線以後，很快就被應用於醫學的範圍內。X 線發現三個月後，俄國著名學者，無線電的發明家 A. C. 波波夫就親手做了一個 X 線管，並將其所創制的 X 線裝置於克朗石塔德海軍病院中應用。同時經 B. B. 哥利聰院士研究證明，X 線的發源地是陽極面上被電子所撞擊之處即所謂 [焦點]。於是証實了 X 線是由於高速度運動的電子，在其運動過程中遇到阻擋發生撞擊而發生的假說。

由於 X 線能應用於各種不同的科學、技術範圍內，所以 X 線發生裝置（即 X 線機）的改進，有了迅速的發展。舊式 X 線機的高壓電源多用感應圈供給，效率低且功率又小，後為俄國傑出的電機工程師烏薩根累衣發明的高壓變壓器所代替。舊式 X 線管皆為離子管，使用不便，效率亦低，在 1910 年俄國物理學家 П. H. 列別傑夫首先建議製造熱陰極（白熾鎢絲）電子 X 線管，可惜由於他的早逝而未能完成此項重要發明，直到 1913 年才有電子 X 線管的製出。

一架 X 線機所包括的各主要部分如下：[其結構參閱圖(1)]。

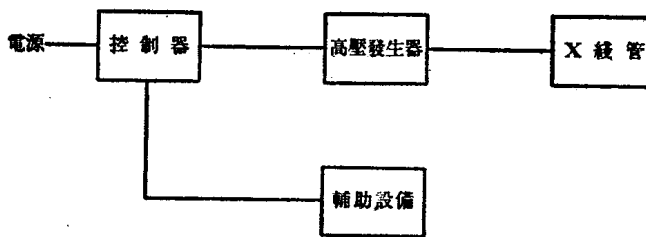


圖 1 X 線機結構略圖

1. 發生 X 線用的 X 線管。
2. 供應 X 線管高電壓的發生裝置。
3. 操縱 X 線發生及性能調節裝置的控制台。
4. 透視、攝影床等機械部分。

除去X綫管外，其余部分皆由多种机件組成，本書將分別予以討論。

医用X綫机由应用方面看可分为診斷用X綫机及治療用X綫机兩大類。前者如根据使用及容量等划分，又可包括有(下表)所列各式。

診斷用X綫机的類別

机器型式	輸出容量	用途
小型攜帶式X綫机	10余毫安以下 60千伏	出診，或病房及戰地用
小型移動式X綫机	20—30毫安 80千伏(或60千伏) 以下	病房及手術室等用
大型移動式X綫机	數百毫安 100千伏以下	病房手術室作大功率 短時間攝影用
中小型固定式X綫机 (自整流式)	百余毫安以下 100千伏以下	一般透視攝影用
大型固定式X綫机 (附有整流設備)	100—200毫安以下 100(或120)千伏以下	一般透視攝影用
超大型固定式X綫机* (附有全波整流或三 相整流)	500毫安以上 100(或120)千伏	一般透視攝影用

*超大型X綫机例如300—400—500毫安以上者，在实际应用中多無此項需要，如果电源供电情况較差，电压降較大，这類机器根本不能發揮其效能，並且对其中机件如整流管、X綫管等等损坏及消耗非常大，甚至反不如一般中、大型机器使用效果良好。

診斷用的X綫机亦有專有或附有特种应用的装备，其主要者例如：

螢光攝影机：或称間接攝影机，系用普通相机攝下螢光板上的影像，常应用於防癌工作中之胸部檢查。

連續攝影及適時攝影：多用於胃腸檢查，在透視中間作快速攝影之用。

斷層攝影机：用以攝制被照射物各种深度的平面影像。

記波攝影机：用以攝制心臟波動影像以診斷心臟等疾病。

其他如泌尿系統專用X綫机及头部攝影X綫机等，則裝置有

特殊診斷床，固定架，可作快速換片攝影等用。綜觀以上各類機器，其X線發生原理皆相同，電路結構基本主要部分亦大致相同，僅在機械裝置上有所不同而已。

過去我國在反動統治時期，一切仰仗外國，X線機也不例外，因此國內現有機器的情況亦非常複雜，國別牌號應有盡有，很難一一列舉分別敘述，僅提出主要機件及其重點，學者自可舉一而反三，在實際工作中加以提高。

第一章 高压部分机件

重點要求：(1) 學習高压部分主要机件的構造，其中主要为X綫管，高压整流器，高压电缆，高压变压器等。
(2) 認識以上各主要机件的性能及应用方面中的特點。
(3) 一架X綫机虽为許多机件所組成，但具有其整体性，分散開來則不可能工作，故本章虽單独講述，但讀者必須建立連續性的观念。
(4) 學習本章內各節应注意正确地使用方面問題，尤以各種X綫管的正常使用更为重要。

第一節 X 線 管

X綫管为X綫机器內的主要机件，是一个精密的高压电真空儀器。舊式X綫管圖(2)为一密閉玻璃容器，其中有留少許空气

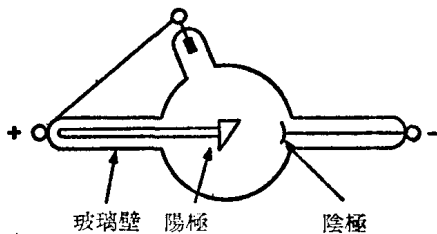


圖 2 气体 X 線管

前所用的X綫管，与上述略有不同，多系高真空熱陰極式，其構造如圖(3)。管內为高度真空，陰極为一鎢制灯絲，通电流使之熾熱而放散电子。这些电子受高电压的作用，以很大的速度投射於陽極，在陽極上即有X綫向四方發射，所生X綫的強度(硬度)，亦

或其他气体，当兩端加以高压時，管內气体电离，陰極射綫集中撞擊於对陰極面上。所謂「对陰極」者，即作为障碍物之用。运动电子突被停止，其動能即被对陰極物質原子所吸收，而發生X綫射出管外。目

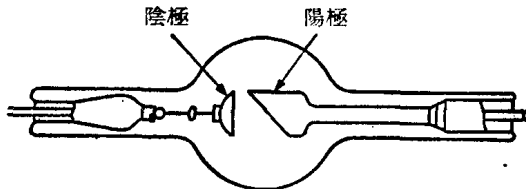


圖 3 热陰極式 X 線管

即穿透力),視陽極所用的金屬及所加电压的大小而定;陽極电位愈高,則电子行動愈速,所發生X線的波長愈短,即X線愈硬。而所發生X線的量,則大部取決於灯絲所放散电子數目的多少,亦即灯絲溫度的高低。灯絲溫度愈高,X線量亦愈大。

現在所用的X線管種類雖多,但基本原理皆如上述,今分別討論於下。

一、構造

1. 陰極:熱陰極X線管的陰極為放散电子之用,电子放散的原理,略述如下:

在物質的原子中,是由各種基本粒子,如电子、質子、中子等所組成。在原子最外一層的电子,它在一定的条件下可以比較容易地脫離母體,而以自由电子的形态出現,电子本身是極小的物質微粒,具有負電荷,其值為 $e = 1.601 \times 10^{-19}$ 庫侖。

在X線管內,电子由陰極脫出,必須有一定的条件,第一、因为电子在金屬中時,它們與正离子之間有吸引力存在,电子如欲勝過這種吸引力,必須有足够的能量才能完成。第二、在金屬的表面由於金屬內部一些自由电子暫時由金屬內逸出而存在有一電子的[氣層],並帶有負電荷,阻止了後來的电子。这也是造成电子逸出,須具有相當的能量的原因之一。

假設电子逸出金屬表面所需用於克服第一種条件的功為 W_0 ,用於第二種者為 W_i 。則电子要從金屬內逸出所必須具有的總能量 W_a 应為:

$$W_a = W_i + W_0$$

W_0 又稱為逸出功。下表為一些金屬的逸出功之值(以電子伏特為單位)。

鉻	1.81	鉭	4.07
鋇	2.11	鎳	4.30
鈣	2.24	鉛	4.41
釷	3.35	鈷	4.52
銅	4.0	鉑	5.0

因此X線管陰極放散电子是用陰極的加熱。當金屬加熱後,一

些电子的能量和速率增加到足够的程度，做了所需要的[逸出功]，亦即克服了前述的阻擋力，而逸出金屬表面。金屬的溫度愈高，电子所獲得的能量也愈多，遂使逸出金屬表面的电子也愈多。所以电子放散的數量，是隨溫度的上升而增加的。

1901年O. W. Richardson 氏依据實驗，得一电子放散公式，后經 Dushman 略加修改为：

$$i = Ne = AT^2 \varepsilon^{-\frac{\phi_0 e}{KT}} \text{ 安/厘米}^2$$

式中 i —— 加熱金屬單位表面積上所放散出來的电子流
(以每平方厘米的安培計)

N —— 每秒鐘放出的电子數

e —— 每个电子的电荷

ε —— 自然对數底

A —— 在純金屬中的常數，其值为 60.2 安/厘米²·度²

T —— 金屬的絕對溫度

ϕ_0 —— 該發射物体的常數

K —— 为 Boltzman 常數，其值为 1.36×10^{-16} 尔格/T。
(絕對溫度 K)

如放散电子的金屬为鈇，则

$$b_0 = \frac{\phi_0 e}{K} = 52400 \quad \frac{e}{K} \text{ 之值为 } 1.17 \times 10^4$$

但是电子离開發射体后，發射体即顯示正电荷，而有力量促使發射出去的电子，再被吸回原表面。現設想一表面，其絕對溫度为 T 度，外罩一層如云狀的电子羣(按任何一电子均不能远离其發射面，在普通应用的灯絲溫度，大部分發射的电子，若不受其他力量而只靠發射的速度，約能离發射面至 0.001 厘米)，电子密度頗高，距离稍远，即減为稀薄。在表面附近的一層电子，將排斥外層电子，使之更远，同時且排斥欲从表面向外放散的电子。因之，此層电子的存在，將对电子放散与管电流有很大的影响。

X 線管的陰極皆用鈇絲制成，因为鈇的熔點較高，蒸發率低，加工容易，且坚固价廉。鈇制灯絲电子放散情况可由下列例題中

看出。

例：由直徑為圓形的鎢絲所制成的陰極，其直徑 $d = 0.1$ 毫米，長度 = 10 厘米，在溫度由 2000° — 2600° K 內，計算其放散電流，並作出溫度與放散電流關係曲線。

解：

陰極放散電子的面積為：

$$Q = \pi d l = \pi \times 0.01 \times 10 = 0.314 \text{ 平方厘米}$$

因 $A = 60$, $b_0 = 52400$, 則在不同溫度下每平方厘米陰極表面放散電流為：

$$I_1 = 60T^2 e^{-\frac{52400}{T}} \text{ 安/厘米}^2$$

全部陰極表面上的總放散電流等於：

$$I = I_1 \times Q \times 10^3 \text{ 毫安}$$

由 $T = 2000^{\circ}$ 到 2600° K 分別代入計算
得：

T° K	I_1 安/厘米 2	I 毫安
2000	1.15×10^{-3}	0.36
2100	4.16×10^{-3}	1.31
2200	14.2×10^{-3}	4.46
2300	43.8×10^{-3}	13.7
2400	120×10^{-3}	37.7
2500	300×10^{-3}	94.2
2600	740×10^{-3}	232.1

依照上表數字，繪出其關係曲線圖(4)。

由曲線可以看出當溫度增加時，放散電流最初增加很慢，後來就非常快速。如溫度在 2400° — 2600° K 之間，則溫度增加很少，而陰極的放散電流就要增加很多，例如，陰極溫度由 2400° K 增加到 2600° K，即僅上升 4%，但放散電流却增加了 150%。故使用 X 線機時，燈絲調節（即控制 X 線管燈絲加熱電流的調節器）至一定程度後，稍增之，即可使管電流增加很多，此點宜特別注意。

X 線管燈絲溫度的高低，對其壽命（指燈絲本身的壽命，下同）

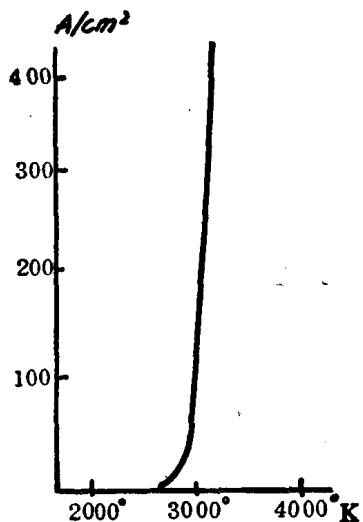


圖 4 灯絲電子放散特性

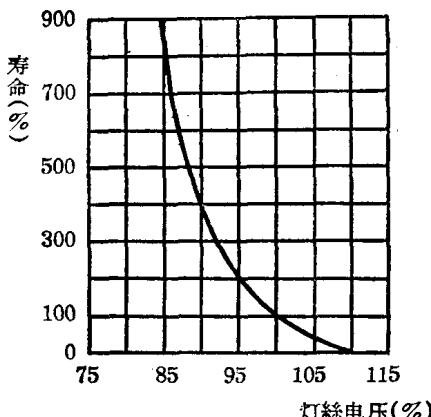


圖 5 灯絲加熱与其壽命關係曲線

有很大的影响，灯絲溫度愈高，則其壽命的縮短也愈快，並且不成直線比例。如灯絲溫度減少 5%，則壽命即可延長 100%，所以使用 X 線管時，常是尽可能地使用低毫安，这样可以節省甚多。圖(5)为灯絲壽命与灯絲溫度的關係曲線。

灯絲經過相當長時間的點燃後，由於逐漸地蒸發而變細。當其截面積減小 10% 后，壽命即將告終。因愈細則表面積減小愈多，電子放散數目亦減小，而至不能使用。不過一般 X 線管常未達於此種程度，而已經由於其他原因而損壞至不能使用。一個 0.025 毫米直徑的灯絲，點燃於 2500°K 之下，每秒鐘蒸發率為 2.02×10^{-16} 毫克/厘米²/秒。其壽命約為 1690 小時（指灯絲而言）。因此採用鵝做為 X 線管陰極灯絲，這是為了鵝的熔點較高，蒸發率低，並且加工容易，以及堅固價廉等。

医用 X 線管的灯絲，多制成圓盤形或長螺管形圖(6)。

電子在陽極面上的撞擊面稱曰「焦點面」，此面積即為 X 線發射的面積，在應用攝影時，可以直接受影響照射影像的清晰度。焦點面自然是愈小愈好，但是會受到「熱問題」的限制（將於以後討論）。为了避免灯絲放散出來的电子，擴散地撞在陽極上，所以都要有聚

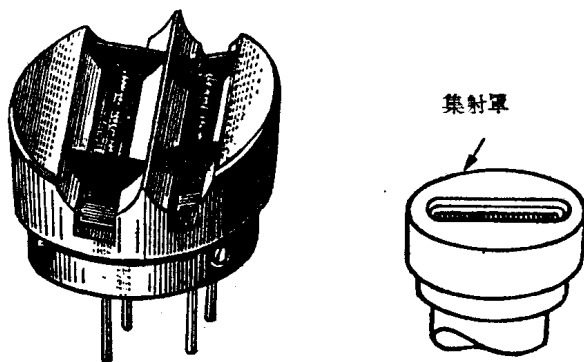


圖 6 甲 長燈絲

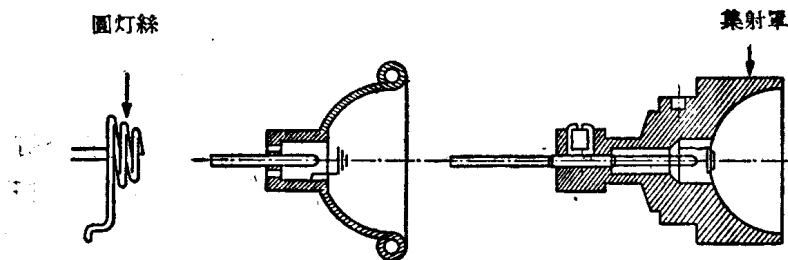


圖 6 乙 圓燈絲 集射罩

射罩的設置。聚射罩多用鎢鉬等硬金屬製造，燈絲裝於其中，並與燈絲一端相連接，這樣，燈絲為負電位時，聚射罩亦為負電位，它可利用電場作用使被陽極吸引過去由燈絲放射出來的電子，聚集地射向陽極。聚射罩的大小、深度、形狀以及燈絲在其中的位置等，都可影響陽極的焦點面積。

有些治療用的X線管，因為沒有必要使[X線源]小，有時且須要大些，所以在圓形的燈絲中間立有一小金屬柱，並與燈絲相連，這樣可以適當地控制電子束的大小，即控制撞擊面的大小，其構造如圖(7)。

長條螺管狀燈絲的寬度較圓燈絲小，再利用陽極角度的關係，可使[有效焦點面積]

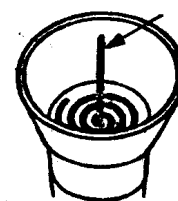


圖 7 备有擴散柱的
燈絲

縮小甚多(詳見陽極構造)。圓燈絲本身不能盤得過小，否則易於相碰短路，一個與圓焦點有同一角度、同一光效應的線焦點，可以承受約二倍於圓焦點的負荷。

有效焦點面積系指垂直於管長軸，實焦點面積的投影面積如圖(8)。

X線管燈絲電阻，多在0.5—2歐姆之間(加熱情況下)。加熱電壓隨管的形式而不相同，一般多在2—10伏或高至十數伏左右，電流一般多在3—6安左右(亦有高至8—9以上者)。更換不同型式X線管時，應根據其特性調整。

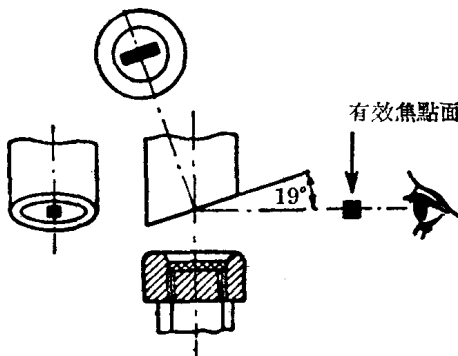


圖8 有效焦點面

X線管在診斷用途上，為了增進使用效果，有的裝有兩個燈絲，一個較大為大焦點燈絲；一個較小為小焦點燈絲，這樣可以在使用一定負荷時，提高透視或攝影的影像清晰度。此種X線管稱曰雙焦點X線管。其交換使用，多在低壓部分操縱。

如將一鎢絲或一陽極板，相距不遠而置於極高度真空玻璃泡中，即成為一簡單的二極電子管。將燈絲加熱，並在陽極與燈絲二極間加以高電壓，使陽極的電位對燈絲為正，於是在陽極與燈絲間，由於高電場的作用，促使管內有電流通過。電流的值，視陽極與

燈絲間電位差的多少及燈絲溫度的高低而定。前已述及，燈絲溫度決定於燈絲所通過電流的大小，故可用燈絲電流為指示（因燈絲溫度較難測定）。圖(9)曲線即為用三種不同的燈絲電流，示陽極電流與陽極電壓的關係。

此曲線顯然與電路中歐姆定律不同，否則當各為一直線（電流與電

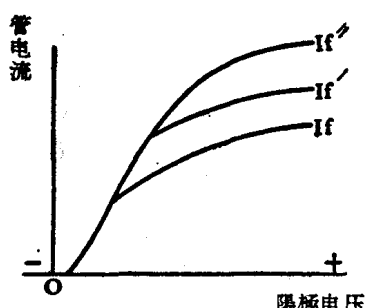


圖9 管电流与管电压的關係

压成正比)。其电阻亦不为常數而与所經過的电流有關。在一定灯絲电流(I_f)時，灯絲的温度亦在一定點，电子的放散依据 Richardson 氏方程式而有一定值。在陽極电位(E_p)較低時，陽極电流(I_p)的增加較为顯著(即电压稍增，电流即可增加很多)，因陽極电位增加時，不独可多吸引电子，且空間电荷效应亦可減少，故更可帮助电子脱离灯絲而到陽極；但在陽極电位較高時，則虽增加陽極电位，而陽極电流增加甚微，若 E_p 超过此值后，则虽再加高，而不能再得到更多陽極电流的增加，因灯絲放散的电子在此温度時已達到飽和状态。即在此温度時，电子因温度得到動能，而能脱离灯絲的表面者，均已被陽極吸去(有時在灯絲附近有極高电位梯度，使电子挤出絲面，謂之[冷放射])。

X 線管工作時多使用曲線上較平的部分。圖(10)的兩個曲線为苏联制 БДМ—85 型 X 線管的特性。

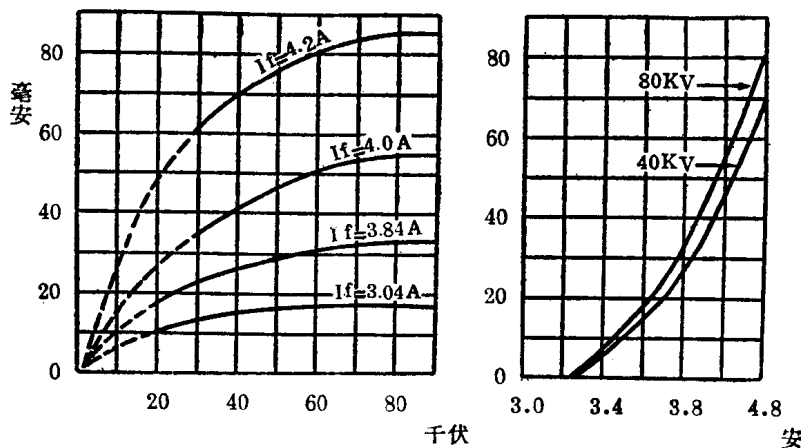


圖 10 БДМ—85 型 X 線管特性

2. 陽極：X 線管的陽極是用以承受电子的撞擊而發生 X 線者，自陰極射向陽極的电子，速度甚高，其速度視陰陽二極間所加的电压而定。电子由陰極到達陽極，必有一定的動能，其值当与該电子所完成的功相等，即：

$$Ve = \frac{1}{2} m_0 v^2$$

$$v = \sqrt{2V \frac{e}{m_0}}$$

式中 v 为到達終點的速度

V 为电子路徑起點与終點的电位差。

將 $\frac{e}{m} = 1.759 \times 10^{11}$ 庫侖/千克代入, 得

$$v = \sqrt{2 \times 1.759 \times 10^{11} \times V}$$

$$= 5.931 \times 10^5 \sqrt{V} \text{ 米/秒}$$

約等於 $600\sqrt{V}$ 公里/秒

例：假設正負二極間电位差為 40000 伏，不計电子由灯絲放散出來的初速，求其終速：

解：代入上式

$$v \text{ 約等於 } 600\sqrt{40000} = 120000 \text{ 公里/秒}$$

在上述計算式內可以看出，若兩極間所加的电压愈高，則电子运行將更加速，不过在实用中，电子速度有一極限值，即不能超过或達到光速(300000 公里/秒)，此系由於电子的質量並非恆定。上式計算中採用靜止時的質量，根據質能關係知，當電子運動速度增大后，其質量亦將增加；实际的速度應按下式計算：

$$v = c \sqrt{1 - \left(\frac{1}{\frac{Ve}{m_0 c^2} + 1} \right)^2}$$

下表為各电压值下的电子速度(約數)。

伏	电子速度公里/秒
20000	82000
50000	124000
100000	160000
200000	210000
400000	240000

鐳的 β 射綫約為 299000 公里/秒，已接近光速。

由上列計算中可以看出，因撞擊於陽極面的电子其速度接近光速，亦即動能相當高，如此大量的能量多數轉變為熱，且承受電

子撞擊面甚小(即焦點面由於使用的要求須甚小)。而熱能集中於此甚小的焦點面上。下列計算可約略看出焦點面當撞擊時的溫度(承受電子撞擊面為鈦)。

如一X線管在60千伏, 20毫安, 0.6秒條件下照射後, 求鈦面溫度的昇高。假設承受電子撞擊面為2毫米寬16毫米長、3.2毫米厚, 未使用前電子撞擊面為30°C, 因有99%以上的能動皆轉變為熱, 故可不計發生X線的能。由熱能轉變公式可在求出上述使用條件下, 承受電子撞擊面的熱量:

$$\text{熱量} = 0.24IEt \text{ 卡}$$

已知 $I = 0.02$ 安

$E = 60000$ 伏

$t = 0.6$ 秒

代入

$$\text{熱量} = 0.24 \times 0.02 \times 60000 \times 0.6 = 172.8 \text{ 卡}$$

茲假定其中40%的熱傳導出去(鈦的導熱系數為0.4)則鈦面(電子撞擊面)尚余熱量為 $172.8 \times 0.6 = 103.7$ 卡。

由熱學的計算

$$\text{熱量} = MHT \quad T = \frac{\text{熱量}}{MH}$$

M ——質量

H ——比熱

T ——溫度

鈦的比熱為0.036卡

鈦的質量可由體積求出 即:

$$\text{比重} \times \text{體積} = \text{質量}$$

鈦的比重為19.39克/立方厘米

則鈦的體積為 $2 \times 16 \times 3.2 = 102.4$ 立方毫米

$$19.39 \times 102.4 = 1.9736 \text{ 克}(鈦的質量)$$

以上各數字代入熱學公式中

$$\text{即 } T = \frac{103.7}{1.9736 \times 0.036} = 1457^\circ\text{C}$$